

K_7, K_3, K_1)排列的一个 12 轮循环。

证明:分别观察表 2、表 3 中 Piccolo-80 和 Piccolo-128 主密钥与轮密钥间的对应关系,可得上述结论。□

性质 2. 根据算法结构中的 F 函数采用的是 4bits 的 S 盒,且在字节置换操作中,实现的是对字节整体的移位操作,未改变各个字节内部每一比特的状态,因此在引入明文差分时,可在与密钥进行差分抵消的位置选取 4bits 或 8bits 差分,相应地选择 4bits 或 8bits 的相关密钥差分实现差分抵消。当选取明文差分为 4bits 时,攻击所需的相关密钥量约为 2^4 ,较差分选为 8bits 时有所减少,具体应用见第 2.3 节和第 3.2 节。

性质 3(轮函数等效结构)^[12]. 改变 Piccolo 算法中轮密钥加的顺序,不影响算法加解密效果,且根据轮密钥加变换顺序的不同有两种算法轮函数的等效结构,具体结构如图 1 所示。

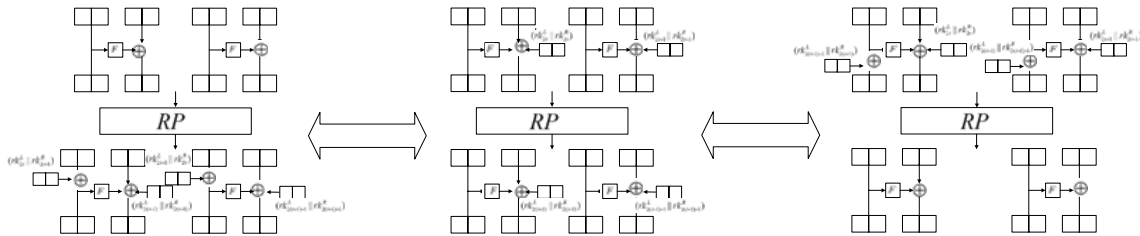


Fig.1 Equivalent structure of round function

图 1 轮函数等效结构

在下文给出的攻击过程中,利用性质 3,通过在数据收集阶段采用算法等效结构,可以有助于减少攻击过程中的选择明(密)文量,降低攻击所需数据复杂度。这里仅以 Piccolo-80 算法为例进行具体说明,对于 Piccolo-128 算法具有同样的效果。

例 1:对于 Piccolo-80 算法,由图 2 的攻击路径可得:在数据收集阶段使用算法等效结构,使得第 14 轮不含密钥加运算的作用,进而可由预计算直接得到满足第 14 轮的输入状态差分为 $(\alpha, 0, 0, 0, 0, \beta, \gamma, 0)$ 的密文对。也就是说,对于 2^n 个明文结构,所需的选择密文量为 2^{n+24} 。而未使用算法等效结构,则根据密文差分中有 6 个活动差分字节,攻击所需的选择密文量 2^{n+48} 。进一步的,在攻击计算复杂度相同的条件下,显然,未使用等效结构所需的数据复杂度更高。

2.2 11轮相关密钥-不可能差分区器

根据算法轮函数结构,在不含相关密钥差分,输入状态仅存在 1 个差分活动比特块时,算法达到完全性有两种情况。

- (1) 活动比特块位于 F 函数的输入,经过 3 轮变换后,算法达到完全。
- (2) 活动比特块位于密钥加操作的输入,经过 4 轮变换后,算法达到完全。

引入相关密钥差分,一般用于实现与输入状态差分的相互抵消,得到更长的区分器,提升密钥恢复攻击时的轮数,所以说,密钥差分选取的位置也十分关键。一般情况下,针对 Piccolo 算法,所能构造区分器的最长轮数由同一主密钥字在轮密钥中连续出现 5 次的相距轮数决定,但并不是说,所能构造的区分器轮数就一定达到相距轮数,还需受到算法达到完全性的轮数限制。此外,直观地可以发现:若引入的密钥差分和输入状态差分活动比特块越多,算法达到完全所需的轮数越少。

综合上述考虑,利用中间相错思想,在主密钥差分 and 输入状态差分均仅有 1 个活动比特块时构造区分器。特别地,当轮密钥为 (K_4, K_4) 时,若在 K_4 中引入一个差分活动块,则为了实现差分抵消,需要在状态差分中有 2 个差分活动比特块,此种情况的区分器也在本节考虑范围内。由此,利用性质 1,尤其是 Piccolo-80 密钥扩展中轮密钥具有的 5 轮循环性,能够构造得到的 Piccolo-80 的最长 11 轮相关密钥-不可能差分区器主要有 3 种情形,见表 4。其中,密钥差分选取在 K_0 中与选取在 K_1 中,所得的区分器情形基本一致,且根据差分选取的左右位置不同,共有 12 种情况;密钥差分选取在 K_2 中与选取在 K_3 中,所得的区分器情形一致,且与情形 1 类似,也有 12 种情况;密钥

差分选取在 K_4 中时,根据差分选取的左右位置不同,共有 6 种情况.综上,能够找到 30 条 11 轮 Piccolo-80 的相关密钥-不可能差分区分器.附录 A、附录 B 给出了 3 种情形区分器的示例.

Table 4 11-round related-key impossible differential distinguishers of Piccolo-80

表 4 11 轮 Piccolo-80 算法的相关密钥-不可能差分区分器

	区分器位置	密钥差分	区分器具体表示	类似区分器总数
情形 1	第 1 轮~第 11 轮 第 6 轮~第 16 轮 第 11 轮~第 21 轮	$\Delta K_1^R = \gamma$	$(0,0,0,0,0,0,0,\gamma) \xrightarrow{(\Delta K_0, \Delta K_1)=[0,(\gamma)_{00}]} (0,\gamma,0,0,0,0,0,0)$	12
情形 2	第 2 轮~第 12 轮 第 7 轮~第 17 轮 第 12 轮~第 22 轮	$\Delta K_2^L = \gamma$	$(0,0,\gamma,0,0,0,0,0) \xrightarrow{(\Delta K_2, \Delta K_3)=[\gamma,(\gamma)_{00}]} (\gamma,0,0,0,0,0,0,0)$	12
情形 3	第 3 轮~第 13 轮 第 8 轮~第 18 轮 第 13 轮~第 23 轮	$\Delta K_4^L = \gamma$	$(0,0,\gamma,0,0,0,\gamma,0) \xrightarrow{(\Delta K_4, \Delta K_4)=[(\gamma)_{00},(\gamma)_{00}]} (\gamma,0,0,0,\gamma,0,0,0)$	6

由于本文攻击中考虑前向白化密钥对算法安全性的影响,因此密钥差分选取在 K_0 和 K_1 中的区分器不适合用于攻击环节.而为了使攻击轮数尽可能长,且攻击复杂度尽可能低,考虑选用输入差分活动块较少的区分器,故在下文的攻击中,选用的区分器为情形 2 中的区分器,且区分器的位置取为第 2 轮~第 12 轮,具体路径见附录 A 中表 A 的左半部分.特别指出:文献[19]给出的 Piccolo-80 区分器也是情形 2 中的一种,且情形 2 中的位于第 12 轮~第 22 轮的区分器也可用来分析 15 轮 Piccolo-80 算法仅含后向白化密钥的安全性,具体攻击过程和复杂度估计与下文给出的攻击算法 1、算法 2 类似.

2.3 15 轮密钥恢复攻击

根据上述构造所得区分器,向上解密 2 轮,向下加密 2 轮,基于分割攻击思想,可对 15 轮 Piccolo-80 算法进行密钥恢复,攻击总共分为两个阶段:一为数据收集阶段,二为密钥猜测阶段.本小节中根据选取密钥差分的比特块规模不同,给出了两种攻击算法,可以恢复出 Piccolo-80 算法的全部 80bits 主密钥,具体的攻击步骤基本类似,但在所需复杂度方面有一定差异,下面具体介绍这两种攻击算法.具体攻击路径如图 2 所示,其中,黑色表示差分活动比特块,灰色标识差分为 γ 的比特块,差分不活动比特块用白色标识.

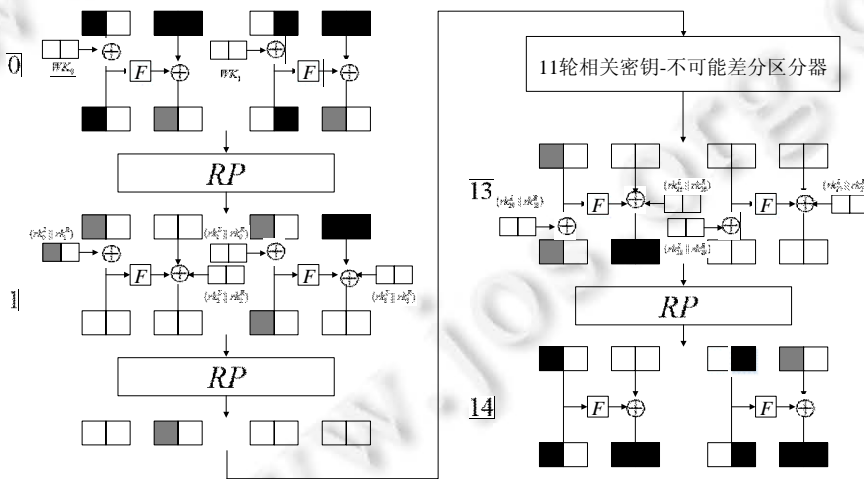


Fig.2 15-round related-key impossible differential cryptanalysis of Piccolo-80

图 2 15 轮 Piccolo-80 算法相关密钥-不可能差分分析

2.3.1 攻击算法 1

- Step 1. 数据收集.

基于性质 3,对于密文 (C,C') ,选择其在第 14 轮的输入差分为 $(\alpha,0,0,0,0,\beta,\gamma,0)$,其中 α,β,γ 表示差分活动比特块,且每一比特块表示一个字节,则显然:对于一个结构,需要选择 2^{24} 个选择密文,则得到 2^{47} 个密文对.当选定 γ 的一个非零取值时,因为有 2^8-1 种可能,所以对应的密文对数量 2^{39} 个.此时选择相应的密钥差分 $\Delta K_2^L = \gamma$,筛选明文差分为 $(*,0,*,*,0,*,*,*)$ 的密文对,予以保留,则平均剩余的密文对个数为 $2^{39} \times 2^{-16} = 2^{23}$.构造 2^n 个结构,当 γ 选定一个非零值时,可得到 2^{n+23} 个平均剩余密文对.

• Step 2. 密钥猜测.

第 2 步中具体介绍密钥猜测阶段的攻击步骤,其中,Step 2.1~Step 2.4 是基于 γ 取定的情况, $\gamma \neq 0$.

- Step 2.1. 对于选定的一个 γ ,根据已得到的密文对,猜测密钥 (rk_{29}^L, rk_{28}^R) ,筛选使得 $\Delta X_{2,3}^{13} = 0$ 的密文对,予以保留,则平均剩余密文对个数为 $2^{n+23} \times 2^{-16} = 2^{n+7}$.
- Step 2.2. 已知密钥 (rk_{29}^L, rk_{28}^R) ,根据密钥扩展算法,可计算得到对应的主密钥 (K_1^L, K_0^R) ,也就是 WK_1 .再通过已知密文对可得相应的明文对,进行第 0 轮的右半部分加密.筛选 $\Delta Y_6^0 = \gamma, \Delta Y_7^0 = 0$ 的密文对,予以保留,则平均剩余密文对的个数为 $2^{n+7} \times 2^{-16} = 2^{n-9}$.
- Step 2.3. 猜测密钥 WK_0 ,也就是 $(K_0^L \parallel K_1^R)$,进行第 0 轮的左半部分加密,筛选使得 $\Delta Y_2^0 = \gamma, \Delta Y_3^0 = 0$ 的密文对,予以保留,则平均剩余密文对的个数为 $2^{n-9} \times 2^{-16} = 2^{n-25}$.
- Step 2.4. 猜测密钥 (rk_1^L, rk_0^R) ,根据上述步骤剩余密文对,计算并验证 $\Delta Y_{6,7}^1 = 0$ 是否成立:若成立,即此时仍有密文对通过验证,则说明此时的密钥为错误密钥,将密钥筛去,存入错误密钥候选密钥集;否则,将猜测密钥作为正确密钥候选密钥予以保留.
- Step 2.5. 遍历所有可能的 γ 值,重复进行上述步骤 2.1~步骤 2.4,将均不满足第 2.4 步验证条件的密钥可作为最终正确密钥的候选密钥.对于任一 γ 值,存在满足验证条件的密钥作为错误密钥筛除.上述攻击步骤已对 48bits 密钥 $(rk_{29}^L, rk_{28}^R, K_0^L, K_1^R, rk_1^L, rk_0^R)$ 进行了猜测,将筛选后得到的候选密钥与未猜测 32bits 密钥进行穷举,得到最终正确密钥.

攻击所需的各项复杂度由定理 1 给出.

定理 1. 根据攻击算法 1,可恢复出 Piccolo-80 算法的全部主密钥,攻击所需数据复杂度为 $2^{58.6}$,计算复杂度为 2^{78} ,存储复杂度为 $2^{60.6}$.

证明:攻击所需数据复杂度主要由选择密文量决定.由攻击步骤 1 可知,对于每一个结构,选择密文的数目为 2^{24} ,选取 2^n 个这样的结构,得到攻击所需的选择密文量为 2^{n+24} ,也就是数据复杂度为 2^{n+24} 个选择密文.本文中所有攻击所需计算复杂度均采用的是文献[20]中的方法进行估计,即总的计算复杂度由构造明文结构、密钥猜测筛选阶段以及穷举剩余密钥这 3 部分的计算复杂度组成.由于 Piccolo 算法中 F 函数采用的是 SDS 结构,在一轮运算中,与计算其他环节操作相比,计算 F 函数所需的复杂度要高出很多,因此攻击的计算复杂度可依所需计算的 F 函数的个数进行近似估计,下面进行具体分析.

1. 由于攻击所需选择密文量为 2^{n+24} ,因此构造明文对所需的计算复杂度为 $T_N = 2^{n+24} \times 2 = 2^{n+25}$.
2. Step 2.1 中,选定 γ 的一个值,猜测密钥 (rk_{29}^L, rk_{28}^R) 共有 2^{16} 种可能,根据已得的密文对,进行 $\frac{1}{2}$ 轮 Piccolo-80 算法解密操作,筛选 $\Delta X_{2,3}^{13} = 0$ 的密文对,因此,攻击所需的计算复杂度为 $\frac{1}{2} \times (2^{n+23} \times 2^{16}) \times 2 = 2^{n+39}$.
3. Step 2.2 中,根据步骤 2.1 中得到的密钥 (K_1^L, K_0^R) 和剩余 2^{n+7} 个密文对,进行 $\frac{1}{2}$ 轮加密操作,筛选 $\Delta Y_6^0 = \gamma, \Delta Y_7^0 = 0$ 的密文对,因此,该步骤所需的计算复杂度为 $\frac{1}{2} \times (2^{n+7} \times 2^{16}) \times 2 = 2^{n+23}$.
4. Step 2.3 中,与前两步类似,猜测密钥 WK_0 ,有 2^{16} 种取值,筛选符合条件的密文对,则该步骤的计算复杂度为 $\frac{1}{2} \times (2^{n-9} \times 2^{32}) \times 2 = 2^{n+23}$.

5. Step 2.4 中,猜测密钥 (rk_1^L, rk_0^R) , 验证 $\Delta Y_{6,7}^1 = 0$ 是否成立,则该步骤的计算复杂度为

$$\frac{1}{2} \times (2^{n-25} \times 2^{48}) \times 2 = 2^{n+23}.$$

6. Step 2.5 中,对 γ 所有可能的 2^8-1 值进行遍历,进行密钥筛选.也就是重复上述攻击步骤 2.1~步骤 2.4,所以密钥猜测阶段总的计算复杂度体现在该步骤中,也就是需要再进行约 2^8-2 次步骤 2.1~步骤 2.4,因此密钥猜测阶段总的计算复杂度为

$$T_G = (2^8 - 1) \times \frac{1}{15} \times (2^{n+39} + 2^{n+23} + 2^{n+23} + 2^{n+23}) = 2^{n+43.09}.$$

在上述攻击中,错误密钥不通过验证的概率为 $P = ((1-2^{-16})^{2^{n-25}})^{2^8-1} \approx (1-2^{-16})^{2^{n-17}}$,总计对 48bits 密钥进行了猜测,因此剩余密钥量为 $K_R = 2^{48} \times P$,也就是穷举剩余密钥的计算复杂度为 $T_R \approx 2^{32} \times K_R$.利用文献[20]的方法,为使攻击效果更好,对攻击所需数据复杂度和计算复杂度进行折衷,选取 $n=34.6$,则攻击所需的计算复杂度总计为 $T = T_N + T_G + T_R = 2^{n+25} + 2^{n+43.09} + 2^{75.63} \approx 2^{78}$ 次 15 轮 Piccolo-80 算法加密.

存储复杂度主要用于存储密文结构以及错误密钥,共需约为 $2^{60.6}$ 个字节.

综上,攻击所需数据复杂度为 $2^{58.6}$ 个选择密文,计算复杂度为 2^{78} 次 15 轮 Piccolo-80 算法加密,存储复杂度为 $2^{60.6}$ 个字节. \square

2.3.2 攻击算法 2

根据 Piccolo 算法 F 函数组成部分中的 S 盒为 4bits,我们可以将算法每一轮的输入按半字节进行划分,密钥同样如此,为简化表示,每一轮的一个输入状态 $X_i^r = (X_i^{r_{L0}} \parallel X_i^{r_{L1}} \parallel X_i^{r_{R0}} \parallel X_i^{r_{R1}})$,将每一个主密钥定义为 $K_i = (K_i^{L0} \parallel K_i^{L1} \parallel K_i^{R0} \parallel K_i^{R1})$,相应的轮密钥也依此表示.通过简化密钥选取的条件,给出如下具体攻击算法.

- 攻击条件:选择第 14 轮的输入差分分为 $(\alpha, 0, 0, 0, 0, \beta, \gamma \parallel 0, 0)$, 密钥差分为 $\Delta K_2^L = (\gamma \parallel 0)$. 其中, α, β, γ 各表示一个差分活动字节, γ 表示一个差分活动半字节.
- 攻击步骤:除数据收集阶段采用上述攻击条件,使得与算法 1 的步骤 1 略有不同外,其余步骤与攻击算法 1 基本类似.

定理 2 给出了攻击算法 2 的各项复杂度分析结果.

定理 2. 根据攻击算法 2,可恢复出 Piccolo-80 算法的全部主密钥,攻击所需数据复杂度为 $2^{62.6}$,计算复杂度为 $2^{77.93}$,存储复杂度为 $2^{64.6}$.

证明:显然对于 2^n 个结构,需要 2^{n+20} 个选择密文,相应的密钥猜测阶段所需的计算复杂度与攻击算法 1 也有所不同,具体各个环节所需的计算复杂度见表 5.

Table 5 Computation complexity analysis of attack Algorithm 2

表 5 攻击算法 2 的计算复杂度分析

具体环节	所需计算复杂度
构造明文结构	2^{n+21}
猜测密钥	$(2^4 - 1) \times \frac{1}{15} \times (2^{n+35} + 2^{n+19} + 2^{n+19} + 2^{n+19}) \approx 2^{n+35}$
穷举剩余密钥	$2^{48} \times (1 - 2^{-16})^{2^{n-25}} \times 2^{32}$

经过验证可得,选取 $n=42.6$,此攻击所需的数据复杂度约为 $2^{62.6}$ 个选择密文,计算复杂度为 $2^{77.93}$ 次 15 轮 Piccolo-80 算法加密,存储复杂度为 $2^{64.6}$ 个字节. \square

3 21 轮 Piccolo-128 算法的相关密钥-不可能差分攻击

与第 2 节类似,本节首先分析 Piccolo-128 算法在输入状态差分 and 主密钥差分均仅有 1 个活动比特块的限制条件下能够具有的最长 17 轮相关密钥-不可能差分区分器,在此基础上,得到适用于攻击 21 轮含前向白化密钥的 Piccolo-28 算法的 16 轮相关密钥-不可能差分区分器,并给出相应的安全性分析结果.

3.1 17轮相关密钥-不可能差分区分器

结合性质 1,考虑 Piccolo-28 主密钥的各个部分在各轮密钥中出现的分布情况,通过选取合适位置的密钥差分,实现与输入输出差分状态的抵消,能够构造得到的最长相关密钥-不可能差分区分器主要有 4 种情形,见表 6.

Table 6 17-round related-key impossible differential distinguishers of Piccolo-128
表 6 17 轮 Piccolo-128 算法的相关密钥-不可能差分区分器

	区分器位置	密钥差分	区分器具体表示	类似区分器总数
情形 1	第 1 轮~第 17 轮	$\Delta K_4^L = \alpha$	$(0,0,\alpha,0,0,0,0,0) \xrightarrow{\Delta K_4=(\alpha 0)} (\alpha,0,0,0,0,0,0,0)$	2
情形 2	第 5 轮~第 21 轮	$\Delta K_0^R = \alpha$	$(0,0,0,\alpha,0,0,0,0) \xrightarrow{\Delta K_0=(0 \alpha)} (0,0,0,0,0,\alpha,0,0)$	2
情形 3	第 9 轮~第 25 轮	$\Delta K_2^R = \alpha$	$(0,0,0,\alpha,0,0,0,0) \xrightarrow{\Delta K_2=(0 \alpha)} (0,0,0,0,0,\alpha,0,0)$	2
情形 4	第 13 轮~第 29 轮	$\Delta K_6^L = \alpha$	$(0,0,\alpha,0,0,0,0,0) \xrightarrow{\Delta K_6=(\alpha 0)} (\alpha,0,0,0,0,0,0,0)$	2

观察表 6 可得,区分器的密钥差分选取均位于轮密钥的左半部分.这是因为每轮轮密钥的右半部分采用的是主密钥(K_1, K_3, K_5, K_7)中的任意一个,而由性质 1, Piccolo-128 的轮密钥的右半部分是按($K_3, K_5, K_7, K_1, K_7, K_3, K_5, K_1, K_5, K_7, K_3, K_1$)排列的一个 12 轮循环.其中, K_3, K_5 在轮密钥中连续出现 5 次的相距轮数为 18, K_7 在轮密钥中的相距轮数为 17, 但该三者中间轮均已达到算法达到完全性的轮数要求,在截断差分条件下不能得到矛盾. K_1 在轮密钥中的相距轮数为 $15 < 17$, 因此当密钥差分位于轮密钥的右半部分时,所能构造的区分器轮数定不超过 17 轮,所以未予考虑.

由此,我们可得 Piccolo-128 算法的 8 条 17 轮相关密钥-不可能差分区分器,且需要强调,情形 1 中包含了文献[19]给出的 Piccolo-128 算法的相关密钥-不可能差分区分器.

由于本文的攻击考虑前向白化密钥对算法安全性的影响,因此我们仅选取情形 1 中的区分器用于实施攻击.为了能够利用多相关密钥以及轮函数的等效结构实现攻击,我们对所得区分器进行改进,将区分器的第一轮置于密钥恢复攻击环节,也就是说改进后的区分器仅为第 2 轮~第 17 轮,表 7 给出了此 16 轮区分器的具体构造.而后,借助所得区分器向上向下分别拓展 2 轮和 3 轮,给出了 21 轮含前向白化密钥 Piccolo-128 算法的安全性分析结果.此外,情形 4 中的区分器也可用来分析 21 轮 Piccolo-128 算法仅含后向白化密钥的安全性,具体攻击过程和复杂度估计与下文给出的攻击算法 3、算法 4 基本一致.

Table 7 16-round related-key impossible differential distinguisher of Piccolo-128 with $\Delta K_4=(\alpha||0)$
表 7 Piccolo-128 在密钥差分选为 $\Delta K_4=(\alpha||0)$ 时的 16 轮区分器

	加密方向			解密方向		
	第 i 轮	第 i 轮输入差分	第 i 轮密钥差分	第 i 轮	第 i 轮输入差分	第 i 轮密钥差分
密钥差分选为 $\Delta K_4=(\alpha 0)$ 的情况	2	(0,0,0,0,0,0,0,0)	(0,0)	9	(*0,**,0,**)	(0,0)
	3	(0,0,0,0,0,0,0,0)	(0,0)	10	(0,0,0,0, α ,0,*,*)	(0,0)
	4	(0,0,0,0,0,0,0,0)	(0,0)	11	(0,0, α ,0,0,0,0,0)	$(\Delta K_4, \Delta K_5)=[(\alpha 0), 0]$
	5	(0,0,0,0,0,0,0,0)	(0,0)	12	(0,0,0,0,0,0,0,0)	(0,0)
	6	(0,0,0,0,0,0,0,0)	$(\Delta K_4, \Delta K_5)=[(\alpha 0), 0]$	13	(0,0,0,0,0,0,0,0)	(0,0)
	7	(α ,0,0,0,0,0,0,0)	(0,0)	14	(0,0,0,0,0,0,0,0)	(0,0)
	8	(*0,0,0,0,*, α ,0)	$(\Delta K_4, \Delta K_5)=[(\alpha 0), 0]$	15	(0,0,0,0,0,0,0,0)	(0,0)
	9	(**,0,0,*,*,*)	(0,0)	16	(0,0,0,0,0,0,0,0)	(0,0)
	-	-	-	17	(0,0,0,0,0,0,0,0)	$(\Delta K_4, \Delta K_5)=[(\alpha 0), 0]$
	-	-	-	18	(α ,0,0,0,0,0,0,0)	-

3.2 21轮密钥恢复攻击

根据第 3.1 节所得的 16 轮区分器,向上解密 2 轮,向下加密 3 轮,得到对于 Piccolo-128 的 21 轮攻击路径,且与对 Piccolo-80 算法的攻击相同,对于 Piccolo-128 的攻击过程也由两个阶段组成:一为数据收集阶段,二为密钥猜测阶段.下文中给出两个攻击算法,其中,攻击算法 3 选取的密钥差分规模为 8bits,攻击算法 4 中密钥差分规模为 4bits.下面对算法 3 进行详细介绍,算法 4 由于步骤基本与算法 3 相似,在本节仅进行简单介绍.图 3 给出具

体攻击路径,其中,黑色和白色标识与图 2 相同,灰色表示差分为 α 的比特块.

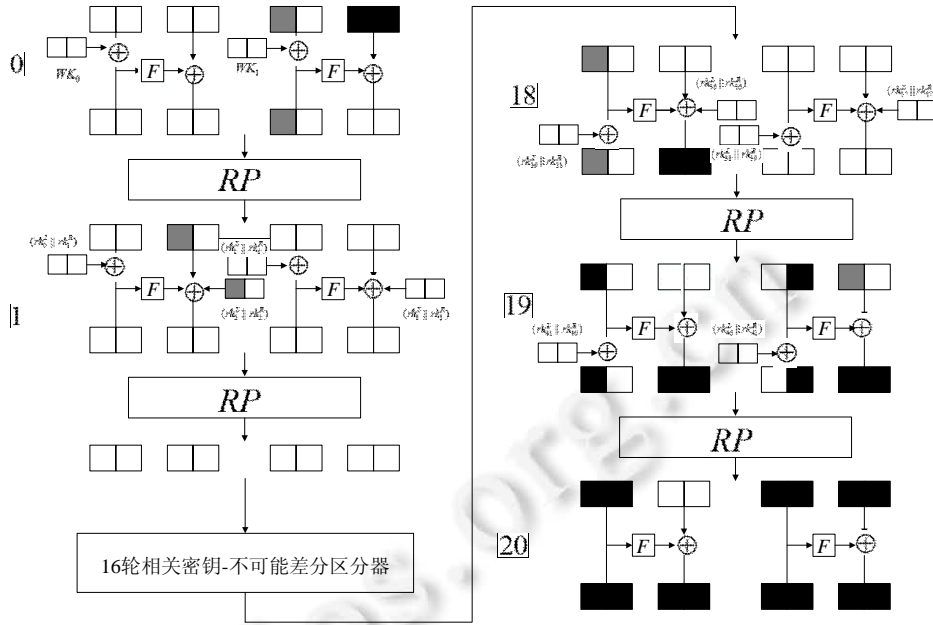


Fig.3 21-round related-key impossible differential cryptanalysis of Piccolo-128

图 3 21 轮 Piccolo-128 算法的相关密钥-不可能差分分析

3.2.1 攻击算法 3

- Step 1. 数据收集.

选择明文 (P, P') 的输入差分为 $(0, 0, 0, 0, \alpha, 0, \beta, \gamma)$, 同样, α, β, γ 表示差分活动字节. 对于一个明文结构, 需要选择 2^{24} 个明文, 则得到 2^{47} 个明文对. 当 α 选定一个非零的取值时, 因为有 $2^8 - 1$ 种可能, 所以对应的明文对数量 2^{39} 个. 此时选择相应的密钥差分 $\Delta K_4^L = \alpha$, 基于性质 3 轮函数的等效结构, 筛选满足在第 20 轮的输入差分有 $\Delta X_{2,3}^{20} = 0$, 其余字节差分活动的明文对予以保留, 构造 2^n 个结构, 当 α 选定一个非零值时, 可得到 2^{n+23} 个平均剩余明文对.

第 2 步中具体介绍密钥猜测阶段的攻击步骤, 其中, 步骤 2.1~步骤 2.4 是基于 α 的值取定的情况, $\alpha \neq 0$.

- Step 2. 密钥猜测.

- Step 2.1. 猜测密钥 WK_1 , 对于选定的一个 α , 根据已得到的明文对, 筛选使得的明文对, 予以保留, 则平均剩余明文对个数为 $2^{n+23} \times 2^{-16} = 2^{n+7}$.
- Step 2.2. 猜测密钥 (rk_{41}^L, rk_{40}^R) , 利用上述剩余明文对, 进行第 19 轮左半部分解密, 筛选 $\Delta X_{2,3}^{19} = 0$ 的明文对, 予以保留, 则平均剩余明文对个数为 $2^{n+7} \times 2^{-16} = 2^{n-9}$.
- Step 2.3. 猜测密钥 (rk_{40}^L, rk_{41}^R) , 利用上述剩余明文对, 进行第 19 轮右半部分解密, 筛选 $\Delta X_6^{19} = \alpha$, $\Delta X_7^{19} = 0$ 的明文对, 予以保留, 则该步骤后, 平均有 $2^{n-9} \times 2^{-16} = 2^{n-25}$ 个明文对剩余.
- Step 2.4. 猜测密钥 rk_{38}^R , 由步骤 2.1 已知 K_1^L , 根据密钥扩展算法的对应关系, 也就是已知 rk_{39}^L . 对剩余明文对进行第 18 轮的左半部分解密, 验证 $\Delta X_{2,3}^{18} = 0$ 是否成立: 若此时仍有明文对通过检验, 则说明此时猜测的密钥错误, 将其放入错误密钥候选密钥集; 否则, 将其看作正确密钥的候选密钥, 予以保留.
- Step 2.5. 遍历所有可能的 α 值, 重复进行上述 Step 2.1~Step 2.4, 则对于所有可能的 α 值, 均不通过 Step 2.4 检验的密钥可作为最终正确密钥的候选密钥. 对于任一非零 α 值, 存在满足第 2.4 步验证条件的密钥作为错误密钥剔除. 上述攻击步骤已对 56bits 密钥 $(rk_{41}^L, rk_{40}^L, rk_{41}^R, rk_{40}^R, rk_{38}^R, K_1^L, K_0^R)$ 进行了猜测, 将筛选后得到的候选密钥与未猜测 72bits 密钥进行穷举, 得到最终正确密钥.

攻击所需的复杂度由定理 3 给出.

定理 3. 根据攻击算法 3,可恢复出 Piccolo-128 算法的全部主密钥,攻击所需数据复杂度为 $2^{62.3}$,计算复杂度为 $2^{82.5}$,存储复杂度为 $2^{64.3}$.

证明:攻击所需数据复杂度主要由选择明文量决定.由步骤 1 可得:对于每一个结构,选择明文数量为 2^{24} ,选取 2^n 个这样的结构,得到攻击所需的选择明文量为 2^{n+24} ,也就是数据复杂度为 2^{n+24} 个选择明文.各步骤具体的计算复杂度情况如下.

由于攻击所需选择明文为 2^{n+24} ,因此构造明文对所需的计算复杂度为 $T_N=2^{n+25}$.在 Step 2.1 中,攻击所需的计算复杂度为 $\frac{1}{2} \times (2^{n+23} \times 2^{16}) \times 2 = 2^{n+39}$; Step 2.2 所需的计算复杂度为 $\frac{1}{2} \times (2^{n+7} \times 2^{32}) \times 2 = 2^{n+39}$; Step 2.3 所需的计算复杂度为 $\frac{1}{2} \times (2^{n-9} \times 2^{48}) \times 2 = 2^{n+39}$; Step 2.4 中,猜测密钥 rk_{38}^R ,验证 $\Delta X_{2,3}^{18} = 0$ 是否成立,进行密钥筛选,则该步骤的计算复杂度为 $\frac{1}{2} \times (2^{n-25} \times 2^{56}) \times 2 = 2^{n+31}$; Step 3 中,对 α 所有可能的 2^8-1 值进行遍历,进行密钥筛选.也就是重复上述攻击步骤 2.1~步骤 2.4,因此在密钥猜测阶段,总的计算复杂度约为

$$T_G = (2^8 - 1) \times \frac{1}{21} \times (2^{n+39} + 2^{n+39} + 2^{n+39} + 2^{n+31}) = 2^{n+44.2}.$$

在上述攻击中,错误密钥不通过验证的概率为 $P = ((1 - 2^{-16})^{2^{n-25}})^{2^8-1}$,总计对 56bits 密钥进行了猜测,因此剩余密钥量为 $K_R = 2^{56} \times P$,取 $n=38.3$,也就是穷举剩余密钥的计算复杂度为 $T_R = K_R \times 2^{72} \approx 2^{72}$,则攻击总计所需的计算复杂度为 $T = T_N + T_G + T_R = 2^{n+25} + 2^{n+44.2} + 2^{72} \approx 2^{82.5}$ 次 21 轮 Piccolo-128 算法加密.

存储复杂度主要用于存储明文结构以及错误密钥,共需约为 $2^{64.3}$ 个字节.

综上,攻击所需数据复杂度为 $2^{62.3}$ 个选择明文,计算复杂度为 $2^{82.5}$ 次 21 轮 Piccolo-128 算法加密,存储复杂度为 $2^{64.3}$ 个字节. \square

3.2.2 攻击算法 4

- 攻击条件:与攻击算法 2 类似,对各轮输入输出状态和密钥比特块按半字节进行划分.选择明文差分为 $(0,0,0,0,(\alpha||0),0,\beta,\gamma)$,密钥差分为 $\Delta K_4^i = (\alpha || 0)$,其中, α 表示一个差分活动半字节, β, γ 各表示一个差分活动字节.
- 攻击步骤:除数据收集阶段略异于攻击算法 3,其余步骤基本类似.

攻击算法 4 的复杂度分析结果由定理 4 给出.

定理 4. 根据攻击算法 4,恢复 Piccolo-128 算法的全部主密钥所需数据复杂度为 $2^{62.3}$,计算复杂度为 $2^{124.45}$,存储复杂度为 $2^{64.3}$.

证明:选取 $n=42.3$,则该攻击所需的数据复杂度约为 $2^{62.3}$ 个选择明文,计算复杂度为 $2^{124.45}$ 次 21 轮 Piccolo-128 算法加密,存储复杂度为 $2^{64.3}$ 个字节.主要证明过程与定理 2.3 类似,此处不再赘述. \square

4 结束语

本文中利用相关密钥-不可能差分分析方法,结合算法密钥扩展方面的弱点,基于算法的等效结构,给出了除 Biclique 分析外,攻击轮数最长的缩减轮 Piccolo 算法的差分类分析结果.其中,对于 Piccolo-80 算法,找到所有 30 条 11 轮相关密钥-不可能差分区分器,并基于情形 1 的区分器,得到了 15 轮含前向白化密钥的攻击结果;对于 Piccolo-128 算法,找到所有 8 条 17 轮区分器,并基于改进后的 16 轮区分器,攻击了 21 轮含前向白化密钥的 Piccolo-128 算法.且根据所选取的密钥差分规模不同,对 Piccolo-80 和 Piccolo-128 分别给出了两个不同的攻击算法,攻击所需的复杂度均低于穷举分析,优于已有攻击结果.分析结果表明,15 轮 Piccolo-80 算法和 21 轮 Piccolo-128 算法在不向后密钥的条件下均不能抵抗相关密钥-不可能差分攻击.能否在不增加算法实现代价的前提下,通过改进 Piccolo 算法的密钥扩展方式使得算法的安全性进一步提高,是下一步研究的方向.

作者注 本文于 2018 年 5 月 22 日投稿至《软件学报》“面向自主安全可控的可信计算”专题,并于 2018 年 12 月 13 日被录用,于 2019 年正式发表.本文第一作者徐林宏的硕士学位论文于 2018 年 12 月底完成答辩,后提交至学位论文库.该硕士学位论文的部分章节内容基于本文工作成果,特此说明.

References:

- [1] Bogdanov A, Knudsen LR, Leander G, *et al.* PRESENT: An ultra-lightweight block cipher. In: Paillier P, Verbauwhede I, eds. Proc. of the Int'l Workshop on Cryptographic Hardware and Embedded Systems (CHES 2007). LNCS 4727, Berlin, Heidelberg: Springer-Verlag, 2007. 450–466.
- [2] Wu WL, Zhang L. LBlock: A lightweight block cipher. In: Lopez J, Tsudik G, eds. Proc. of the Int'l Conf. on Applied Cryptography and Network Security (ACNS 2011). LNCS 6715, Berlin, Heidelberg: Springer-Verlag, 2011. 327–344.
- [3] Borghoff J, Canteaut A, Güneysu T, *et al.* PRINCE—A low-latency block cipher for pervasive computing applications. In: Wang X, Sako K, eds. Proc. of the Int'l Conf. on the Theory and Application of Cryptology and Information Security—ASIACRYPT 2012. LNCS 7658, Berlin, Heidelberg: Springer-Verlag, 2012. 208–225.
- [4] Beaulieu R, Treatman-Clark S, Shors D, *et al.* The SIMON and SPECK lightweight block ciphers. In: Proc. of the 2015 52nd ACM/EDAC/IEEE Design Automation Conf. (DAC). San Francisco: IEEE, 2015. 1–6. <https://doi.org/10.1145/2744769.2747946>
- [5] Shibutani K, Isobe T, Hiwatari H, *et al.* Piccolo: An ultra-lightweight block cipher. In: Preneel B, Takagi T, eds. Proc. of the Cryptographic Hardware and Embedded Systems (CHES 2011). LNCS 6917, Berlin, Heidelberg: Springer-Verlag, 2011. 342–357.
- [6] Knudsen L. DEAL—A 128-Bit Blockcipher. AES Proposal, 1998.
- [7] Biham E, Biryukov, Shanir A. Cryptanalysis of Skipjack reduced to 31 rounds using impossible differentials. In: Stern J, ed. Proc. of the Int'l Conf. on the Theory and Applications of Cryptographic Techniques—EUROCRYPT'99. LNCS 1582, Berlin, Heidelberg: Springer-Verlag, 1999. 12–23.
- [8] Mala H, Dakhilalian M, Rijmen V, *et al.* Improved impossible differential cryptanalysis of 7-round AES-128. In: Gong G, Gupta KC, eds. Proc. of the Int'l Conf. on Cryptology in India—INDOCRYPT 2010. LNCS 6498, Berlin, Heidelberg: Springer-Verlag, 2010. 282–291.
- [9] Boura C, Naya-Plasencia M, Suder V. Scrutinizing and improving impossible differential attacks: Applications to CLEFIA, Camellia, LBlock and Simon. In: Sarkar P, Iwata T, eds. Proc. of the Int'l Conf. on Theory and Application of Cryptology and Information Security—ASIACRYPT 2014. LNCS 8873. Berlin Heidelberg: Springer, 2014. 179–199.
- [10] Biham E. New types of cryptanalytic attacks using related-keys. Journal of Cryptology, 1994,7(4):229–246.
- [11] Knudsen LR. Cryptanalysis of LOKI91. In: Seberry J, Zheng Y, eds. Proc. of the Advances in Cryptology—Auscrypt'92. LNCS 718, Berlin, Heidelberg: Springer-Verlag, 1992. 196–208.
- [12] Gong Z, Liu SS, Wen YM, *et al.* Biclique cryptanalysis using balanced complete bipartite subgraphs. SCIENCE CHINA Information Sciences, 2016,59(4):Article No.049101.
- [13] Song J, Lee K, Lee H. Biclique cryptanalysis on lightweight block cipher: HIGHT and Piccolo. Int'l Journal of Computer Mathematics, 2013, 90(12):2564–2580.
- [14] Ahmadi S, Ahmadian Z, Mohajeri J, *et al.* Low-Data complexity biclique cryptanalysis of block ciphers with application to Piccolo and HIGHT. IEEE Trans. on Information Forensics and Security, 2014,9(10):1641–1652.
- [15] Azimi S, Ahmadian Z, Mohajeri J, *et al.* Impossible differential cryptanalysis of Piccolo lightweight block cipher. In: Proc. of the 2014 11th Int'l ISC Conf. on Information Security and Cryptology. Tehran: IEEE, 2014. 89–94. <https://doi.org/10.1109/ISCISC.2014.6994028>
- [16] Tolba M, Abdelkhalek A, Youssef AM. Meet-in-the-Middle attacks on reduced round Piccolo. In: Güneysu T, Leander G, Moradi A, eds. Proc. of the Lightweight Cryptography for Security and Privacy—LightSec 2015. LNCS 9542. Cham: Springer-Verlag, 2016. 3–20.
- [17] Liu Y, Cheng L, Liu ZQ, *et al.* Improved meet-in-the-middle attacks on reduced-round Piccolo. SCIENCE CHINA Information Sciences, 2018,61(3):Article No.032108.
- [18] Minier M. On the security of piccolo lightweight block cipher against related-key impossible differentials. In: Paul G, Vaudenay S, eds. Proc. of the Progress in Cryptology—INDOCRYPT 2013. LNCS 8250, Cham: Springer-Verlag, 2013. 308–318.
- [19] Zheng XQ, Zhang WY. Related-key impossible differential analysis of reduced round Piccolo. Application Research of Computers, 2016,33(5):1528–1532 (in Chinese with English abstract).

[20] Boura C, Lallemand V, Naya-Plasencia M, et al. Making the impossible possible. Journal of Cryptology, 2018,31(1):101–133.

附中文参考文献:

[19] 郑向前,张文英.Piccolo 缩减轮数的相关密钥-不可能差分分析.计算机应用研究,2016,33(5):1528–1532.

附录 A

Table A 11-round distinguisher of Piccolo-80 with $\Delta K_2=(\gamma||0)$ or $\Delta K_1=(0||\gamma)$
表 A Piccolo-80 在密钥差分选为 $\Delta K_2=(\gamma||0)$ 和 $\Delta K_1=(0||\gamma)$ 时的 11 轮区分器

	密钥差分选为 $\Delta K_2=(\gamma 0)$ 的情况				密钥差分选为 $\Delta K_1=(0 \gamma)$ 的情况		
	第 i 轮	第 i 轮输入差分	第 i 轮密钥差分		第 i 轮	第 i 轮输入差分	第 i 轮密钥差分
加密方向	2	$(0,0,\gamma,0,0,0,0,0)$	$(\Delta K_2,\Delta K_3)=[(\gamma 0),0]$	加密方向	1	$(0,0,0,0,0,0,0,\gamma)$	$(\Delta K_0,\Delta K_1)=[0,(0 \gamma)]$
	3	$(0,0,0,0,0,0,0,0)$	$(0,0)$		2	$(0,0,0,0,0,0,0,0)$	$(0,0)$
	4	$(0,0,0,0,0,0,0,0)$	$(0,0)$		3	$(0,0,0,0,0,0,0,0)$	$(0,0)$
	5	$(0,0,0,0,0,0,0,0)$	$(\Delta K_2,\Delta K_3)=[(\gamma 0),0]$		4	$(0,0,0,0,0,0,0,0)$	$(\Delta K_0,\Delta K_1)=[0,(0 \gamma)]$
	6	$(\gamma,0,0,0,0,0,0,0)$	$(0,0)$		5	$(0,\gamma,0,0,0,0,0,0)$	$(0,0)$
	7	$(*,0,0,0,*,\gamma,0)$	$(\Delta K_2,\Delta K_3)=[(\gamma 0),0]$		6	$(*,0,0,\gamma,*,0,0)$	$(\Delta K_0,\Delta K_1)=[0,(0 \gamma)]$
	8	$(?,*,0,0,?,*,*,*)$	—		7	$(*,?,0,0,*,*,*,*)$	—
	8	$(*,0,*,*,0,*,?,0)$	$(0,0)$		7	$(*,0,*,?,0,*,*,*)$	$(0,0)$
解密方向	9	$(0,0,0,0,\gamma,0,*,*)$	$(0,0)$	解密方向	8	$(0,0,0,0,0,\gamma,*,*)$	$(0,0)$
	10	$(0,0,\gamma,0,0,0,0,0)$	$(\Delta K_2,\Delta K_3)=[(\gamma 0),0]$		9	$(0,0,0,0,0,0,0,\gamma)$	$(\Delta K_0,\Delta K_1)=[0,(0 \gamma)]$
	11	$(0,0,0,0,0,0,0,0)$	$(0,0)$		10	$(0,0,0,0,0,0,0,0)$	$(0,0)$
	12	$(0,0,0,0,0,0,0,0)$	$(\Delta K_2,\Delta K_3)=[(\gamma 0),0]$		11	$(0,0,0,0,0,0,0,0)$	$(\Delta K_0,\Delta K_1)=[0,(0 \gamma)]$
	13	$(\gamma,0,0,0,0,0,0,0)$	—		12	$(0,\gamma,0,0,0,0,0,0)$	—

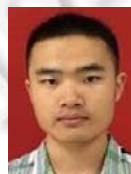
附录 B

Table B 11-round distinguisher of Piccolo-80 with $\Delta K_4=(\gamma||0)$
表 B Piccolo-80 在密钥差分选为 $\Delta K_4=(\gamma||0)$ 时的 11 轮区分器

	加密方向			解密方向		
	第 i 轮	第 i 轮输入差分	第 i 轮密钥差分	第 i 轮	第 i 轮输入差分	第 i 轮密钥差分
密钥差分选为 $\Delta K_4=(\gamma 0)$ 的情况	3	$(0,0,\gamma,0,0,0,\gamma,0)$	$(\Delta K_4,\Delta K_4)=[(\gamma 0),(\gamma 0)]$	11	$(0,0,\gamma,0,0,0,\gamma,0)$	$(\Delta K_4,\Delta K_4)=[(\gamma 0),(\gamma 0)]$
	4	$(0,0,0,0,0,0,0,0)$	$(0,0)$	12	$(0,0,0,0,0,0,0,0)$	$(0,0)$
	5	$(0,0,0,0,0,0,0,0)$	$(0,0)$	13	$(0,0,0,0,0,0,0,0)$	$(\Delta K_4,\Delta K_4)=[(\gamma 0),(\gamma 0)]$
	6	$(0,0,0,0,0,0,0,0)$	$(0,0)$	14	$(\gamma,0,0,0,\gamma,0,0,0)$	—
	7	$(0,0,0,0,0,0,0,0)$	$(0,0)$	—	—	—
	8	$(0,0,0,0,0,0,0,0)$	$(\Delta K_4,\Delta K_4)=[(\gamma 0),(\gamma 0)]$	—	—	—
	9	$(\gamma,0,0,0,\gamma,0,0,0)$	$(0,0)$	—	—	—
	10	$(*,*,\gamma,0,*,*,\gamma,0)$	$(0,0)$	—	—	—
	11	$(*,*,*,*,*,*,*,*)$	—	—	—	—



徐林宏(1995—),男,江苏盐城人,硕士,主要研究领域为分组密码的设计与分析。



崔竞(1992—),男,博士生,主要研究领域为分组密码的设计与分析。



郭建胜(1972—),男,博士,教授,主要研究领域为信息安全,密码学。



李明明(1995—),男,硕士,主要研究领域为分组密码的设计与分析。